

Vysoká škola: strojní a textilní

sklářských strojů a  
Katedra: technologie skla

Fakulta: strojní

Školní rok: 1966/67

## DIPLOMNÍ ÚKOL

pro Vlastimila Pečka

odbor 042-15 zaměření sklářské stroje

Protože jste splnil požadavky učebního plánu, zadává Vám vedoucí katedry ve smyslu směrnic ministerstva školství a kultury o státních závěrečných zkouškách tento diplomní úkol:

Název tématu: Karuselový automat pro horké lití keramických  
hmot

### Pokyny pro vypracování:

Na základě rozboru současné technologie horkého lití provedte návrh zařízení na vakuování hmoty za současného míchání a ohřevu a automatické rozebírání vícenásobné formy. Maximální objem vstřikovací komory 1 litr, vstřikovací tlak 80 - 100 atp., počet nástrojů na otočném stolu 6.

V práci se zaměřte na návrh hlavní sestavy karuselového licího zařízení. Pro konstrukci použijte buď stávajících otočných montážních stolů vyráběných n.p. Tesla Lanškroun nebo pneumatického stolu VUMA - Nové Město nad Váhom.

Návrh doložte podrobnými dynamickými výpočty a schemy.

Podklady pro řešení: konstrukční podklady stávajícího jednoúčelového zařízení pro horké lití. Technologické postupy výroby Tesly Hradec Králové.

Autorská právo se řídí směrnicemi MŠK pro státní závěrečné zkoušky č. j. 31 727/62-III/2 ze dne 13. července 1962-Věstník MŠK XVIII, sečit 24 ze dne 31. 8. 1962 § 19 autorského zákona č. 115/53 Sb.

S  
V 7/67

VYSOKÁ ŠKOLA STROJNÍ A TEXTILNÍ  
Ústřední knihovna  
LIBEREC 1, STUDENTSKÁ 5

**VŠST LIBEREC**  
**FAKULTA STROJNÍ**

KARUSELOVÝ AUTOMAT

DP - SS - 16 - 67

30. října 1967

Vlastimil Pech

Karouselový automat pro horké lití keramických  
hmot.

(diplomová práce)

Vedoucí dipl. práce : Doc. Ing. Jaroslav Charvát

Konzultant: Ing. Rachota,  
Tesla n.p. Hradec Králové

Diplomant : Vlastimil Pech

V Liberci, dne 30. října 1967.

OBSAH

1.Úvod.....	2
2.Rozbor současného stavu.....	3
3.Návrhy na řešení - alternativy.....	4
4.Vlastní řešení - výpočty.....	6
4.1.Pracovní činnost automatického karuselu...	6
4.2.Výpočet množství výrobků.....	7
4.3.Síla potřebná na uzavření formy.....	8
4.4.Váha formy.....	9
4.5.Válce pro otevření a uzavírání forem.....	9
4.6.Kovové vlnovce.....	9
4.7.Rotační rozvod - rozvodná hlava.....	10
4.8.Snímací hlava.....	12
4.9.Olejová rotační vývěva.....	13
4.10.Kontaktní napětí.....	13
4.11.Průhyb konzoly.....	15
4.12.Vstřikovací soustava.....	17
4.13.Ovládací ventil.....	19
4.14.Vakuovací nádoba.....	25
4.15.Infrazářiče.....	26
4.16.Kontrola hladiny v zásobních nádobách....	28
4.17.Vstřikovací komora.....	29
5.Krokovací mechanismus.....	32
6.Automatika procesu.....	35
6.1.Automatická prac.činnost hydr. válců.....	35
7.Zhodnocení.....	41
8.Převod použitého označení.....	43
Přehled použité literatury.....	45

1. Úvod

Za účelem zkvalitnění a zintenzifikování výroby na horkém lití, bylo nutno provést automatizaci výroby. Ke splnění téhoto úkolu bylo zapotřebí vyřešit jak vlastní roztavení a míchání keramické hmoty, tak i její vakuování a vstřikování do forem umístěných na otočném montážním stole.

Pro výrobu na horkém lití se používá směs nazvaná stealit. Její technologická výroba se provádí v kotli s hnětačem, který má duplikátor, jež je vyhříván glycerinem / $\text{CHO}_3$ /, jehož teplota tání a tuhnutí je při  $-20^\circ\text{C}$  a jehož součinitel objemové roztažnosti při teplotě  $20^\circ\text{C}$  je  $\beta = 0,00050 \text{ /m}^3/\text{m}^\circ\text{C}$ . Vlastní ohřev glycerinu je prováděn elektricky asi na  $70^\circ\text{C}$ . Tato teplota je neustále kontrolována termočlánkem.

Zvlášť se roztavuje parafin a včelí vosk. Do kotla, kde je rozemletý práškový stealit o zrnitosti  $450\mu\text{m}$  (pro tuto malou zrnitost je výhodné, že zrníčka jsou bez pórů, což má za následek, že se nemusí přidávat velké množství pojiva, kterým je methylceluloza (4 % roztok)) se přidává směs vosku. Po promíchání, které trvá 1/2 hodiny, se vypouští tato směs ve spodní části kotla na plechové chladící plotny, na nichž nastává chladnutí a tuhnutí této směsi. Po ztuhnutí dostáváme desky, u nichž je možno kontrolovat smrštění. Rozměry desky jsou následující: délka  $46\div48\text{ cm}$ , šířka  $28\div30\text{ cm}$ , tloušťka na okrajích 28 mm a uprostřed desky je 20 mm. Tyto desky se pak rozbíjejí a skladují v pytlích, ve kterých jsou dopravovány ke strojům na horké lití.

## 2. Rozbor současného stavu

V současné době jsou pro technologii horkého lití používána nízkotlaká jednoúčelová zařízení, ve většině případů s jednonásobnou formou. Jde například o výrobky na formách SP 60300, SA 56733, 8682/C atd. Tato zařízení mají nízkou produktivitu (100) směna, z nichž je 20 ks zmetkových, (vzhledem k tomu, že obsluha manipuluje s poměrně těžkými formami (3 - 5 kg) ručně a vícenásobné formy proto nelze vyrábět pro velkou manipulační váhu. Zařízení není řešeno pro současné vakuování a míchání licí břečky, která se musí připravovat odděleně a v intervalech do stroje plnit.

Obsah nádoby, ze které se odebírá licí břečka je 5 litrů. Teplota licí břečky se pohybuje od 60° do 65°C. Tlak vzduchu, kterým se provádí zatlačování licí břečky do forem, se pohybuje od 2 do 8 atm. Při tlaku menším než 3 atm nastávají špatné poměry při zaplnění forem. Dále se zde u ruční výroby vyskytuje celá řada vad. Např. plnění zásobní nádoby se provádí podle velikosti a násobnosti formy 2x až 3x denně. Při nalévání licí břečky do této nádoby je strháván vzduch dovnitř, což způsobuje bublinatost licí břečky, takže předchozí míchání bylo téměř zbytečné. Uspořádání přívodních vzduchových hadic je taktéž nevhodné, protože vadí při nalévání do zásobní nádoby. Chlazení forem je zde provedeno vzduchem, který se sem přivádí gumovou hadicí, avšak není zde pro ni žádný vhodný držák, kterým by se dalo nastavit do žádané polohy. Vlastní chlazení pak závisí na vynálezavosti zaměstnance. Tento nedokonalý způsob chlazení má pak za následek, že forma není dobře prochlazená a to znamená, že při témže čase, který má být dodržen na výrobek u formy prochlazené, a který je stejný s časem u formy neprochlazené,

dochází pak k lepení výrobků ke stěnám a k jejich deformaci při vyjmání z formy. Chladící čas ve formě je pak ovlivňován zaměstnancem, který ve snaze dosáhnout co největšího počtu výrobků, nedodržuje tento čas, a to má za následek již dříve popsanou deformaci a lepení výrobků. Tento nedostatek byl proto také jedním z podkladů pro navržení automatického procesu pro horké lití. Zde při velmi dobrém chlazení a automatickém krokování stavebnicového montážního stroje s otočným stolem lze přesně dodržet chladící interval, který je nezbytně nutný pro dobrou kvalitu výrobku.

### 3. Návrhy na řešení - alternativy.

Pro řešení karuselového automatu na horké lití jsem mohl použít stávajícího otočného montážního stolu, vyráběného v n. p. Tesla Lanškroun nebo pneumatického stolu VUMA - Nové Město nad Váhom. Po dohodě se soudruhy z n. p. Tesla Hradec Králové jsem vyšel z otočného stolu, vyráběného v n. p. Tesla Lanškroun. Tento stůl, jehož schema náhonu a arretace je na obrázku č. I, má celou řadu výhod (krokování je prováděno bubnovou vačkou), které budou popsány později.

Stavebnicový montážní stroj s otočným stolem - typ MC 557 se skládá z válcového stojanu tuhé svařované konstrukce, na němž je upevněn litinový prstenec s upínacími drážkami tvaru T po svém obvodě. Nad ním je pak vlastní otočný talíř s upnutými montážními přípravky. Náhonový systém je uložen ve spodní části stojanu a skládá se z elektromotoru, převodové skříně, bubnové vačky, krokovacího kola, spojky a brzdy. Tyto součásti zajišťují prostřednictvím svislého hřídele krokový pohyb otočného talíře. Přesnou polohu otočného talíře zajišťuje indexovací část, která je tvořena primárním a sekundárním hydraulickým válcem, vyrovnávací nádržkou kapaliny,

pojistným ventilem a aretačním klínem, zasouvaným do kladek krokovacího kola. V této spodní části je ze skříně vyvedeno i ruční kolo pro ruční protáčení talíře při seřizování přípravků a provozních jednotek a dále pak hřídel s upevněnými vačkami pro povalovou část stroje.

Technické údaje:

Jmenovitý průměr talíře - 800; 1 000 mm

Pohyb talíře - krokový

Počet poloh - 12

Čas k otočení - 1 sec/poloha

Čas klidový - nastavitelné 1 ÷ 20 sec

Operativní časy - 4 (0 ÷ 30 % času klidového)

Smysl točení talíře - levý

Elektrický příkon celkem - 4 kW

Napájení - 3x 380(220)50 Hz

Hlavní rozměry stroje - 1 500 x 1 500 x 1 500

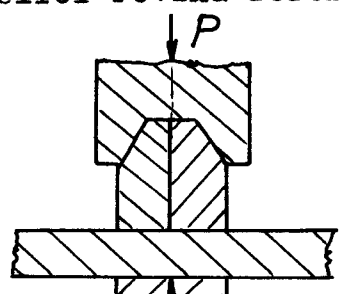
Hlavní rozměry ovládacího pultu - 1 000 x 600 x  
x 1 100 mm

Váha - 1 000 kg

Způsoby uložení forem na otočném talíři:

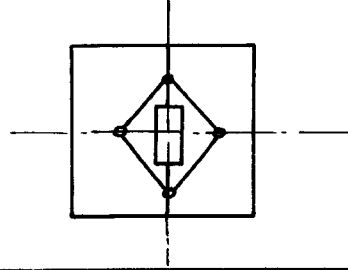
1/ Dělící rovina forem je kolmo k ploše stolu

a/



Tento způsob je nevhodný.  
Dosedací plochy je nutno  
udržovat v dokonalé čis-  
totě. Svírací klín musí  
být proveden na mezi  
samosvornosti, což při  
malém zanešení hmotou  
způsobí samosvornost.

b/



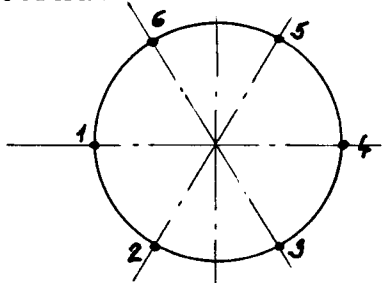
Pneumatické válečky jsou  
kloubově přichyceny  
k formě. Tento způsob  
uzavírání a otevírání  
forem je vhodný, ale

vlastní způsob vstřikování zabraňuje v jejich použití.

- 2/ Dělící rovina forem je rovnoběžná s plochou stolu.  
 a/Otevírání a uzavírání forem, ovládání prostříhacích jehel, ovládání vyhazovačů by bylo provedeno pod otočným talířem a celý tento systém by byl k němu pevně přichycen a pojízděl by na válečkové dráze. Hlavní nevýhodou tohoto způsobu je velká váha celého ovládacího systému, který spočívá na otočném talíři a současně s poměrně velkou vahou forem způsobuje velké rázy při rozbehru a zastavování stolu na vačce krokovacího mechanismu.  
 b/Na otočném talíři jsou současně s formami upevněny ovládací válce pro otevírání a uzavírání forem a dále vzduchové vlnovce. Tato alternativa je nejvhodnější, protože splňuje podmítku jak malé váhy ovládacího mechanismu, tak i jeho snadnou montáž a demontáž. Celý tento systém je poměrně jednoduchý a tím zaručuje i bezpečnost vlastní výroby. Rozvod vzduchu a chladící vody k jednotlivým formám se provádí centrálně z rozvodné hlavy.

#### 4. Vlastní řešení - výpočty.

##### 4.1. Pracovní činnost automatického karuselu pro alternativu 2b



6 poloh - rozhoduje velikost, tvar a váha výrobku.

Poloha 1 - forma je od polohy 6 uzavřena ovládacími válci; na ni dosedne píst hydraulického válce, který je pevně uchycen s konzolou s do kterého je nejprve vháněn tlakový olej o tlaku  $p=7$  atp pro měkké dosednutí pístu

30. října 1967

Vlastimil Pech

a uzavření formy. Pak se přepne tlakový rozvod na tlak  $p = 150$  atp. Po tomto uzavření formy najíždí a dosedá do vstřikovacího otvora formy vstřikovací tryska a nastává vlastní vstřik  $p = 80 \div 100$  atp. Po vstřiknutí odjíždí vstřikovací tryska, uzavírací píst hydraulického válce se zvedne a stůl s uzavřenou formou /ovládací válce/ se pootočí do polohy č. 2. Mezi polohou - prostřízení planžetou.

Poloha 2 - zde probíhá chladnutí výrobků ve formě, která je neustále chlazená protékající vodou.

Poloha 3 - chladnutí.

Poloha 4 - Ovládací válce otevírají formu.

Poloha 5 - do dělící roviny zajíždí sací hlava pro odběr výrobků a vtoků.

Poloha 6 - uzavírání formy ovládacími válci, předtím však se vstřikne do formy olejová mlha, která při styku s keramickou látkou vytváří mezi stěnou formy a stěnou výrobku plynový polštář, který zkvalitňuje povrch výrobku.

#### 4. 2. Výpočet množství výrobků

$$\text{Doba klidu} - t_k = 1 \div 20 \text{ sec}$$

$$\text{Doba pootočení} - t_p = 1 \text{ sec} \quad t_k' = 20 \text{ sec}$$

$$\text{Cas celkový} - t_c = t_k + t_p \quad t_k' \leq 10 \text{ sec}$$

$$t_c' = t_k' + t_p = 21 \text{ sec}$$

$$t_c'' = t_k'' + t_p = 11 \text{ sec}$$

$$p_1^* = \frac{t}{t_c'} = \frac{3600}{21} = 171,5 \text{ ks/hod}$$

$$p_2^* = \frac{t}{t_c''} = \frac{3600}{11} = 327 \text{ ks/hod}$$

Počet hodin odpracovaných strojem -  $T = 3\ 930$  hod

Množství

$$M_1 = p_1^x \cdot T = 171,5 \cdot 3\ 930 = 670000 \text{ ks/rok}$$

$$M_2 = p_2^x \cdot T = 327 \cdot 3\ 930 = 1283000 \text{ ks/rok}$$

$M_1, M_2$  - platí pro jednonásobnou formu

#### 4. 3. Síla potřebná na uzavření formy při vstřikování

Vstřikovací tlak  $p = 80 \div 100$  atp.

Plocha výrobků a plocha vtéků promítnutá do dělící roviny formy je  $15 \text{ cm}^2 = F$

Síla, která působí v dělící rovině /snaží se rozvřít formu/ :

$$P_r = F \cdot p = 15 \cdot 100 = 1\ 500 \text{ kp}$$

Uzavírací síla má být 5ti násobně větší než síla rozvírací.

$$P_u = 5 \cdot P_r = 1\ 500 \cdot 5 = 7\ 500 \text{ kp}$$

Pro tuto uzavírací sílu byl vybrán hydraulický válec typu

PNT 119151.379

Číslice za tečkou značí :

3 - pracovní válec normálního provedení s tlumením

7 - u víka válce čepový závěs

9 - zakončení pístnice závitem

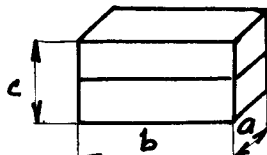
Technické údaje :

Ø válce = 80 mm; Ø pístnice = 40 mm; L - zdvih = 125 mm  
 Síla vysouvací - 8 000 kp } platí pro  $p = 160$  atp  
 Síla zasouvací - 6 000 kp }

Byl vybrán válec s čepovým závěsem, aby se zabránilo případné deformaci pístní tyče při průhybu konsoly, na

které tento válec spočívá. I při průhybu konsoly doseďá vždy opěrný píst kolmo na plochu formy. Tento způsob uchycení byl proto cílem této alternativy.

#### 4. 4. Výpočet váhy formy



$$\text{Váha} - G = V \cdot \mu$$

$$\text{Objem} - V = a \cdot b \cdot c = 1,2 \cdot 2 \cdot 1,4 = 3,36 \text{ dm}^3$$

$$G = 3,36 \cdot 7,8 = 26,2 \text{ kg}$$

Váha formy = váha kvádru + kolíky, vyhazovače, prostřihovací jehly /příslušenství/

$$G = G_1 + G_2 = 26,2 + 6 = 32,2 \text{ kg}$$

#### 4. 5. Volba válců pro otevírání a uzavírání forem

Při otevírání formy musí válce překonat jak tření ve vodících pouzdrech, tak i váhu horní části formy a sílu potřebnou na vyhození výrobku. Byl navržen tento typ válce:

JHVJt 25/100 k

Ø pístu - 25 mm

L zdvih - 100 mm

Válce tohoto typu jsou určeny pro nejširší použití pro svoji jednoduchost. Vyžadují nenáročnou obsluhu a je možno je použít i na těžko přistupných místech. Jsou to dvojčinné válce s tlumením v krajních polohách a s jednostrannou pístní tyčí.

#### 4. 6. Kovové vlnovce

Při prostřihování vtoků planžetou je zapotřebí, aby planžeta vykonávala malý zdvih / tj.  $4 \div 6 \text{ mm}$ . Síla potřebná na prostřílení je asi 30 kp. Pro tento malý zdvih, sílu a prostor využívají svými vlastnostmi kovové vlnovce. Slouží jako náhrada za pneumatické jednočinné pístové, membránové a otáčivé válce.

Výhody :

Jednoduchá konstrukce, malá váha, jednoduchá

obsluha, menší spotřeba stlačeného vzduchu (můžeme si zde dovolit vypouštět vzduch z vlnovce ven do okolí - cena vzduchu = 6,5 hal( $1\text{ m}^3$ ), rychlá výměna při poruše a nízká cena.

Materiál - tombak, což je 80 % Cu a 20 % Zn - - Ms 80.

Volil jsem vlnovec č. 11 - ČSN 423203.

Jeho provozní tlak -  $p_{max}$  = 6 atm. Při  $p=4$  atm je jeho síla  $P= 40,7$  kp. Přívod vzduchu pro  $\varnothing$  vlnovce  $50 \div 100$  mm se provádí pryžovými hadicemi o  $\varnothing 4 \div 6$  mm, Výrobci vlnovek doporučují využít axiálního pohybu, tj. zdvihu.

Při namáhání :

$$\text{na tlak} - Z_1 = (0,05 \div 0,15) \cdot L$$

$$\text{na tah} - Z_2 = (0,05 \div 0,1) \cdot L$$

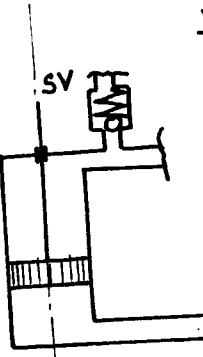
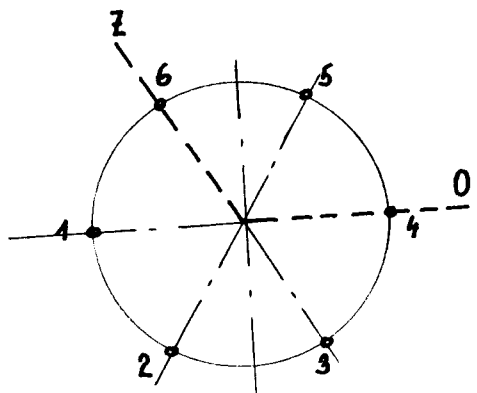
Z nižších hodnot vycházíme v tom případě, kdy se požaduje více zdvihů za minutu. Tím chceme zabránit nebezpečí únavy materiálu a zabezpečit dlouhou životnost vlnovce. Aby se zabránilo nadmernému prodlužování vlnovců a tím i ztrátě pružnosti, je nutno použít zárážky. Maximální počet dosažitelných zdvihů tj. životnost je  $5\ 000 \div 10\ 000\ 000$ , což je závislé na pomínkách použití.

#### 4.7. Rotační rozved - rezvodná hlava

Při návrhu rotačního rozvedu bylo nutné provést rozvod vzduchu a vody na rotační pohyb, který vykonává otočný talíř, na němž jsou umístěny formy.

Pracovní cyklus pro válce na otevření a uzavírání forem, vlnovce a rozvod chladící vody.

V poloze 6 nastává uzavření válců. Jsou zavřené až do polohy 4. Zde nastává otevření. Tomu odpovídá i řez : A - A (viz rezvodná hlava).

SV 10

Otevření formy je znázorněno na řezu : B - B. Drážka v pravé části hřidele způsobí, že vzduch začne proudit pod píst válce a snaží se jej zvedat nahoru. Na píst působí zespodu síla, která je větší než síla, působící zhora, a to o sílu rovnající se - plocha pístní tyče . tlak, který je nad pístem. Tím dojde v horní části válce ke stoupení tlaku a tím i k otevření škrticího ventilu a k úniku vzduchu, který je v horní části válce, přes tento ventil. Když je třeba, aby píst šel dolů, otevírá se přívod vzduchu /viz řez:A - A/ pro horní část válce a současně se otevře odvod vzduchu pro spodní část válce /viz řez:B - B/ - levá drážka.

#### Pracovní cyklus pro vlnovce.

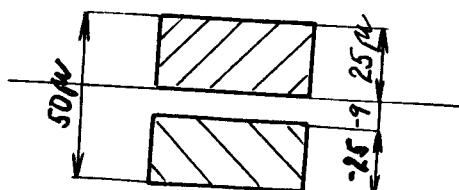
Io vstřiku v poloze 1 dojde k pootočení taliře do polohy 2. Mezi polohou 1 a 2 musí dojít k prostřízení vtoku planétou , a to pokud keramická břečka není ještě ztuhlá,/viz řez: C - C/. Ve spodní drážce je přívod vzduchu do vlnovce, který právě projíždí kolem a v hořejší drážce dochází k odvodu vzduchu do okolí.

#### Pracovní cyklus pro chlazení.

Chladící voda se přivádí během celého otočného cyklu.Tomu odpovídá i řez : D - D,

Uložení hřídele v rozvodném pouzdře :

H7/g6 - používané pro labyrintové těsnění



#### 4. 8. Snímací hlava

Návrh válce pro otáčení snímací hlavy :

otáčení ramene hlavy o  $60^\circ$  - zdvih = 7,17 cm

Volím zdvih 40 mm. Z toho plyně i volba hydraulického válce :

PVJ 25 x 40 - provedení A

Hydraulické tlumiče jsou v koncových polohách.

#### Návrh ozubeného kolečka a hřebene

$\text{Ø}$  roztečné kružnice = 60 mm. Volím modul  $m = 3$ .  
 $D = m \cdot z$ , z toho plyně  $z = D/m = 20$  zubů

Výška zuba -  $v = 13/6 \cdot m = 39/6 = 6,5$  mm.

$\text{Ø}$  hlavové kružnice -  $D_h = D + 2m = 60 + 6 = 66$  mm.

$\text{Ø}$  patní kružnice -  $D_p = D - 2 \cdot 7/6 \cdot m = 60 - 7 = 53$  mm

Rozteč -  $t^* = \pi \cdot m = 3,14 \cdot 3 = 9,42$  mm

#### Hřeben :

počet zubů -  $z = 8$

délka -  $l = z \cdot t^* = 8 \cdot 9,42 = 75,36$  mm.

#### Saci hlava :

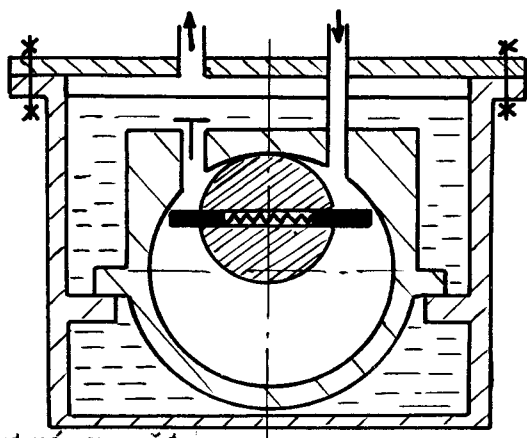
Je připojena na vývěvu typu - OV/2 m<sup>3</sup>; N = 250 W.  
 Otvory ve spodní části sací hlavy, která má přenášet výrobky vyhozené vyhazovači z formy, jsou svrtány podle rozmístění výrceků ve formě.

4. 9. Olejová rotační vývěva

TYP - OV/3 m<sup>3</sup> ; N 250 W

Elektromotor - TYP - T3H84; 250 W, 1380 otáček/minutu  
/ 380 V, 220 V /

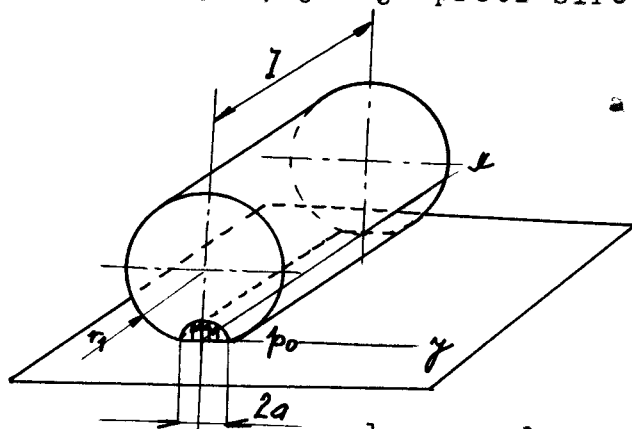
V olejové rotační vývěvě je rotor uložen tak, že jeho osa otáčení je mimo osu válcového statoru. Svými lopatkami odděluje ve vývěvě pracovní prostor, který se při otáčení rotoru periodicky zvětšuje a zmenšuje. Rotační olejová vývěva je obklopena olejovou lázní, jež má trojí význam. Olej chrání pracovní komoru před vnikáním vzduchu do vývěvy netěstnostmi, olej může a těsní pohybující se součásti, vyplňuje škodlivý prostor a ovládá výstupní ventil. Mezní tlak rotačních vývěv je  $10^{-2}$  torrů.

4. 10. Kontaktní napětí

Jsou-li k sobě tlačena 2 tělesa s křivými povrchy, nastává zploštění povrchů. Podklad pro výpočet napětí a deformaci dává teorie Hertzova. Tato teorie předpokládá, že tělesa jsou stejnorodá, izotropní a dokonale pružná, že platí Hookův zákon a že zploštění je proti rozměrům těles malé. Na tlakové ploše mají působit jen síly kolmé k povrchu.

Válec a rovina

V nezatíženém stavu se dotýkají podél povrchové přímky válece. Tlakovou plochou je zde obdélník šířky  $2a =$  délky l, jež je proti šířce velká:



$$\begin{aligned} a &= \sqrt{\frac{8(1-\mu^2)}{E \cdot l} P \cdot r} \\ &= 1,52 \sqrt{\frac{P \cdot r}{E \cdot l}} \\ &= 1,52 \sqrt{\frac{2,67 \cdot 10^3 \cdot 5}{2,1 \cdot 10^6 \cdot 11}} \\ &= 0,365 \text{ mm} \end{aligned}$$

$$\begin{aligned} \text{Poloměr křivosti } \frac{1}{x} &= \frac{1}{r_1} + \frac{1}{r_2} \Rightarrow \frac{1}{r_1} \Rightarrow \\ &= r = r_1 \\ r_2 &= \infty ; \quad \frac{1}{r_2} = 0 \end{aligned}$$

Tlakové napětí se rozdělí po šířce podle polokružnice, kreslí-li se napětí tlakové  $p_0 = a$ . Bude pak

$$\begin{aligned} p_0 &= \sqrt{\frac{P \cdot E}{2 \cdot \pi \cdot r \cdot l \cdot (1 - \mu^2)}} \\ &= 0,418 \sqrt{\frac{P \cdot E}{r \cdot l}} \end{aligned}$$

(záporné znaménko, poněvadž se jedná o tlak).

$$E = \frac{E_1 + E_2}{E_1 \cdot E_2} ; \quad \mu = \frac{1}{m} = 0,3$$

Na koncích válce  $\delta_x = 0$ .

Důsledkem toho je, že ve středu  $\gamma_{\max} =$

$$= \frac{1}{2} (p_0 - 0,6 \cdot p_0) = 0,2 p_0 , \text{ avšak na koncích}$$

válců  $\gamma_{\max} = 0,5 p_0$ ; proto nastává nepatrné zaoblení na okrajích válců, které pak nenesou po celé délce.

Ve středu  $\tilde{\sigma}_y = \tilde{\sigma}_z$ ;  $\tilde{\sigma}_x = 2\mu\tilde{\sigma}_z = 0,6p_0$

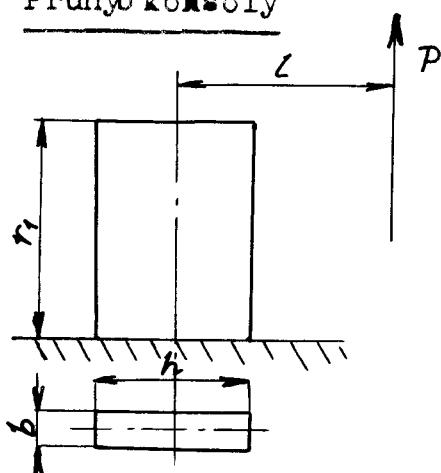
$$p_0 = -0,418 \sqrt{\frac{P \cdot E}{r \cdot l}} = \\ = -0,418 \sqrt{\frac{2,67 \cdot 10^3 \cdot 2,1 \cdot 10^6}{5 \cdot 11}} = \\ = 0,1335 \cdot 10^4 = 1335 \text{ kp/cm}^2$$

$\tilde{\sigma}_x = 800 \text{ kp/cm}^2$ ; materiál válečků - 12020 -  $\tilde{\sigma}_{P_t} = 44 \text{ kp/mm}^2$

kalemá -  $\tilde{\sigma}_{P_t} = 50 \div 75 \text{ kp/mm}^2$

#### 4. 11.

##### Průhyb konzoly



$b=20 \text{ mm}; h=140 \text{ mm}$

Dif. rovnice ohýbové čáry:

$\frac{d^2 y}{dx^2} = \frac{M_o}{E \cdot I}$

$\frac{dy}{dx} = (M_o \cdot x / E \cdot I) + C_1$

$\text{pro } x=0; \left(\frac{dy}{dx}\right)_{x=0} = C_1 = 0$

$M_o = P \cdot l = 8000 \cdot 16 = \\ = 128000 \text{ kp cm}$

$y = \frac{-M_o x^2}{2 EI} + C_2; \text{ pro } x=0 \text{ bude } C_2=0$

$x = l; y = \frac{M_o l^2}{2 EI}; I = \frac{1}{12}bh^3 = \frac{1}{12} \cdot 2 \cdot 2744 = 457 \text{ cm}^4$

$y = \frac{6,4 \cdot 10^4 \cdot 17,7 \cdot 10^2}{2 \cdot 2,1 \cdot 10^6 \cdot 4,57 \cdot 10^2} = 5,9 \cdot 10^{-2} \text{ cm}$

$y = 5,9 \cdot 10^{-1} \text{ mm}$

VŠST LIBEREC  
FAKULTA STROJNÍ

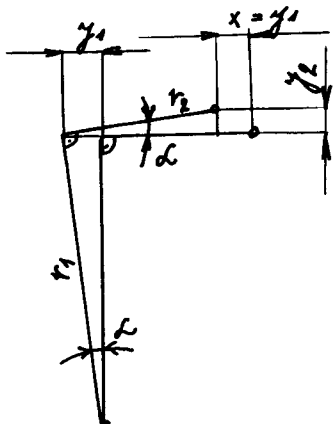
30. října 1967

Vlastník / Předn.

d

30. října 1967

Vlastimil Pech



$$\sin \alpha = \frac{y_1}{r_1} = 5,9 \cdot 10^{-1}$$

$$\cdot \frac{1}{4,2} \cdot 10^2 = 1,405 \cdot 10^{-3}$$

$$\sin \beta = \frac{y_2}{r_2} \Rightarrow y_2 = r_2 \cdot \sin \beta =$$

$$= 1,6 \cdot 10^2 \cdot 1,405 \cdot 10^{-3} =$$

$$= 2,25 \cdot 10^{-1} \text{ mm}$$

### Chybové napětí

$$\tilde{\sigma}_o = \frac{\frac{M_o}{W_o}}{W_o} = \frac{6,4 \cdot 10^4}{6,53 \cdot 10} = 0,98 \cdot 10^3 = 980 \text{ kp/cm}^2$$

$$W_o = \frac{1}{6} b h^2 = \frac{1}{6} \cdot 2 \cdot 196 = 65,3 \text{ cm}^3$$

$$\text{Materiál konzoly - 120C - } \tilde{\sigma}_{P_t} = 66 \text{ kp/mm}^2$$

$$\tilde{\sigma}_o = f(\tilde{\sigma}_{P_t}) = 120 \% \cdot \tilde{\sigma}_{P_t} = 78,2 \text{ kp/mm}^2 > 9,8 \text{ kp/mm}^2$$

### Tehové napětí

$$\tilde{\sigma}_t = \frac{P/2}{F} = 4000/28 = 142,7 \text{ kp/cm}^2$$

4. 12. Vetríkovací soustava

se sestává: z horní nádoby pro roztavení a promíchání roztavené keramické látky. Objem nádoby je  $4 \text{ dm}^3$ . Tavení a ohřev roztavené hmoty je prováděn elektricky. Dokonalé promíchání zajišťují míchací segmenty. Jejich pohon je přes šnekovou převodovku.

Šneková převodovka

$z_1$  - počet chodů šneku       $n_1$  - počet ot. šneku (ot./min)  
 $z_2$  - počet zubů šnek. kola       $n_2$  - počet ot. šn.k. (ot./min)

$$\text{Převod } i_{1,2} = \frac{n_1}{n_2} = \frac{z_2}{z_1} = \frac{1320}{10} = 132$$

$$n_1 = 1320; n_2 = 10$$

$$\text{Osová rozteč} - t_x = \pi \cdot m_x = 3,14 \cdot 1 = 3,14 \text{ mm}$$

$$\text{Poloměr šneku} - r_1 = \frac{z_1 \cdot t_x}{2 \cdot \pi \cdot \operatorname{tg} \mu} = \frac{1 \cdot 3,14}{6,280,176} = 4,25 \text{ mm}$$

$m_x$  - osový modul ;  $\mu$  - stoupání roztečné šroubovice

$$d_1 = 8,5 \text{ mm}; d_{h_1} = 10,5 \text{ mm}$$

$$z_2 = z_1 \cdot i_{1,2} = 1 \cdot 132 = 132 \text{ zubů}$$

$$\text{Poloměr šnekového kola} - r_2 = \frac{z_2 \cdot m_x}{2} = 66 \text{ mm}$$

$$d_{h_2} = 134 \text{ mm}$$

Účinnost šnekového převodu

$$\operatorname{tg} \varphi' = f; f=0,1$$

$$\eta_s = \frac{\operatorname{tg}(\mu - \varphi')}{\operatorname{tg} \mu} = \frac{\operatorname{tg}(10^\circ - 5^\circ 40')} {\operatorname{tg} 10^\circ} = \\ = \frac{0,0755}{0,176} = 0,43; \eta_s = 43\%$$

$$\text{Příkon elektromotoru} - N_1 = 120 \text{ W}$$

$$\text{Výkon na míchacích segmentech} - N_2 = N_1 \cdot \eta_s = 120 \cdot 0,43 = \\ = 51,6 \text{ W} = 525 \text{ kpm}$$

Tvarový odpor

Odpor je vztázen na "na zastíněnou plochu"  $F$  tělesa a na dynamický tlak  $q = (\rho/2g) \cdot w^2$  rychlosti proudu. Zastíněná plocha - tj. velikost průmětu tělesa do rovinu kolmé na směr proudu.

$$q = 2,6 \text{ kg/dm}^3$$

$a$  - délka

$$W = c \cdot F \cdot q; \quad c = f\left(-\frac{a}{b}\right) = 1,19; \quad b - šířka$$

$$q = -\frac{\rho}{2g} \cdot w^2 = \frac{2,6 \cdot 10^3}{2 \cdot 9,81} \cdot 1,58 \cdot 10^{-2} = 2,1 \text{ kp/m}^2$$

$$\omega = \frac{\pi \cdot n}{30} = \frac{\pi \cdot 10}{30} = 1,045; \quad w = r \cdot \omega = 0,12 \cdot 1,045 = \\ \frac{1}{\text{sec}} \quad \quad \quad = 0,1255 \text{ m/sec}$$

Celkový odpor pro 4 segmenty

$$W = 4 \cdot W' = 4 \cdot 1,19 \cdot 10 \cdot 2,1 \cdot 10^{-5} \cdot 10 = 1 \cdot 10^{-2} \text{ kp}$$

Elektrický ohřev

Je proveden topnými tělesy prstencovými.

ČSN 361443

Vnitřní Ø d (mm)	Šířka (mm)	Příkon (W)
30	20	100
63	34	180
	48	225
	62	300
315	34	1000
	48	1150
	62	1450

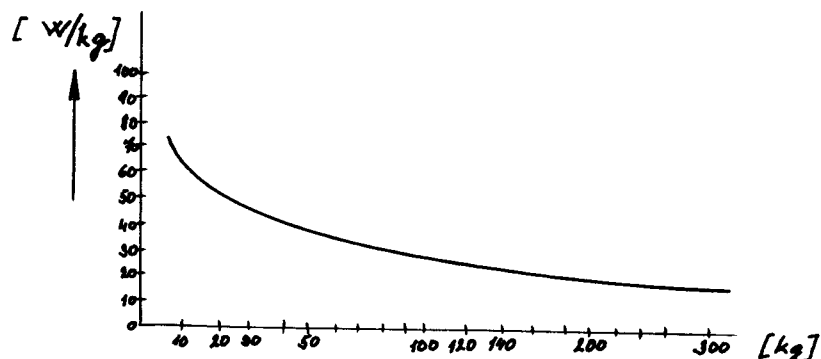


Diagram platí pro vnitřní výhřevná tělesa protencová ČSN 361443. U = 220 V.

#### Měření teploty keramické hmoty

Kontrola teploty je provedena pomocí termočlánku Fe - Ko. Oba dráty jsou svímaty a svařeny do jednoho spoje, procházejí keramickými přírubami k přípojkám na izolační hlavě. Termočlánek je možno použít nechráněný, ale ve většině případů je nutno jej vložit do keramického či kovového pouzdra.

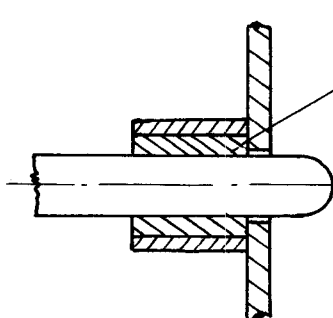
Materiál pouzdra - porcelán -  $1500^{\circ}\text{C}$

Použití - rozsah - ČSN                  Fe - Ko                  Termoel. U  
(mV)

dlouhodobě	-200 $\div$ +600 $^{\circ}\text{C}$	5,37
krátkodobě	+900 $^{\circ}\text{C}$	5,37

#### Utěsnění termočlánků

- 1) Směs - kazivec+skelné střepy (jemně rozdrobené)-poměr 1:1 + vodní sklo
- 2) Švédský cement .



Oba druhy uložení byly odzkoušeny na katedře sklářských strojů. Oba vyhovují.

#### 4. 13. Ovládací ventil

Z horní nádoby přichází roztavená keramická hmota do ovládacího ventila a odtud do vakuovací nádoby.

Schema ovládacího ventilu je na výkrese 02-02. Jeho úkolem je, jednak vpouštět keramickou hmotu do vakuovací nádoby a z vakuovací nádoby do zásobních nádob. Současně musí plnit funkci dobrého uzavírání. Dokonalé uzavření je nezbytně nutné na ventilech, které ovládají přítok keramické hmoty z vakuovací nádoby do zásobních nádob. Zde po naplnění zásobní nádoby keramickou hmotou dojde pak k zafouknutí tlakem vzduchem (2atp), který způsobí zatlačení keramické hmoty do vstřikovacího prostoru. Současně tento tlak působí i na kuličku ovládacího ventilu a snaží se tuto nazdvihnout ze sedla. Za tím účelem jsou na ovládacím ventilu dvě elektromagnetické cívky. Cívka blíže sedlu kuličky plní funkci otevírání ventilu a cívka spodní funkci uzavírání ventilu. Spodní cívka musí na jádro ventilu působit větší silou, než je síla, kterou vydoví zafukovací vzduch, působící na kuličku. Velikost této síly je dána průmětem odkryté části povrchu kuličky do roviny kolmé k ose ventilu  $\times$  zafukovací tlak.

$$P = F \cdot p = 0,75 \times 2 = 1,5 \text{ kp}$$

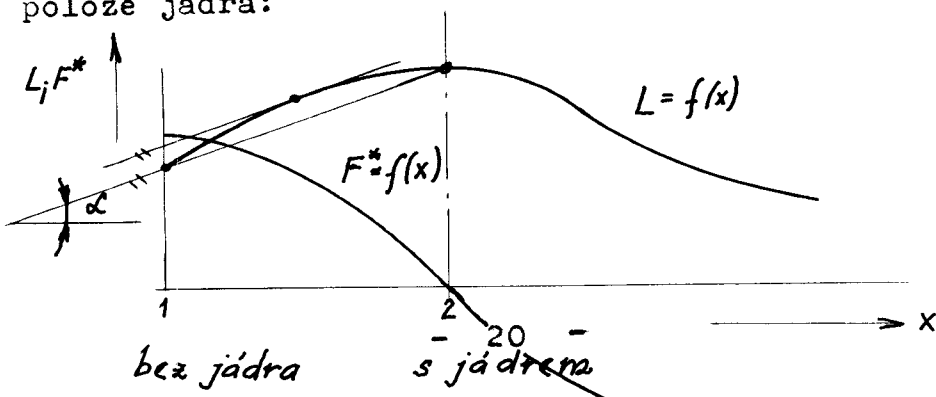
#### Návrh elektromagnetické cívky

Přitažlivá síla -

$$F^* = \frac{1}{2} \cdot I^2 \frac{dL}{dx}$$

Pokud  $\frac{dL}{dx}$  je kladná, tak jádro je vtahováno do cívky.

Průběh závislosti indukčnosti a přitažlivé síly na poloze jádra:



Indukčnost několikanásobné krátké válcové cívky  
s obdélníkovým průřezem:

$$L = \frac{2rn^2}{A+B(\beta+p\delta)} \dots\dots H$$

n - počet závitů

r - stř. poloměr cívky  
(cm)

a - výška vinutí (cm)

l - délka vinutí (cm)

$$\delta = \frac{a}{2r} = \frac{1}{7,5} = 0,1335 \quad \left. \right\} \Rightarrow A; B; p$$

$$\beta = \frac{1}{2r} = \frac{5}{7,5} = 0,667 \quad \left. \right\}$$

$$0 < \delta < 0,5 - A = 38,0; B = 118; p = 1,02 \\ 0 < \beta < 0,8 \quad \left. \right\} \quad 0,5 < \delta < 1 - A = 40,0; B = 136; p = 0,783$$

$$A = 38,0; B = 118; p = 1,02$$

$$L_1 = \frac{7,5 \cdot n^2}{38+118(0,667+1,02 \cdot 0,1335)} = \frac{7,5 \cdot n^2}{38 + 94,7} = 0,0565 n^2 \mu H$$

$$L = \frac{n^2}{R_m}; \quad R_m = \frac{l}{\mu_0} \cdot \frac{1}{S} \quad R_m - \text{mag. odpor} \\ l - \text{délka siločáry}$$

$$R_m = \frac{n^2}{L} = \frac{n^2}{0,0565 \cdot n^2} = \frac{1}{5,65 \cdot 10^2} = 0,177 \cdot 10^2 =$$

$$= 17,7 \Omega / \mu H$$

$$l = R_m \cdot \mu_0 \cdot S = \frac{17,7 \cdot 1,257 \cdot 10^{-6} \cdot 44,2 \cdot 10^{-4}}{10^{-6}} =$$

$$= 17,7 \cdot 1,257 \cdot 44,2 \cdot 10^{-4} = 9,81 \cdot 10^{-2} m = 9,81 \text{ cm}$$

l - střední redukovaná délka siločáry

$$\mu_0 = 1,257 \cdot 10^{-6} / \text{H/m} - \text{permeabilita vzduchu}$$

Magnetický odpor železa:

$$R_{m_z} = \frac{1}{\mu_0 \cdot \mu_z} \cdot \frac{1}{S_z} = \frac{1.5 \cdot 10^{-2}}{1,257 \cdot 10^{-6} \cdot 5 \cdot 10^3 \cdot 7,063 \cdot 10^{-4}} =$$

$$= 0,0485 \cdot 1/10^{-5} = 0,0485 \frac{1}{\mu H}$$

Magnetický odpor vzduchu:

$$R_{m_v} = \frac{1}{\mu_0} \cdot \frac{1}{S-S_z} = \frac{5 \cdot 10^{-2}}{1,257 \cdot 10^{-6} \cdot (44,2-7,065) \cdot 10^{-4}} =$$

$$= 10,7 (1/\mu H)$$

Celkový odpor:

$$R_m = \frac{R_{m_z} \cdot R_{m_v}}{R_{m_z} + R_{m_v}} = \frac{0,048 \cdot 10,7}{10,748} = \frac{0,513}{10,748} =$$

$$= 0,048 1/\mu H$$

Celková redukovaná délka:

$$l' = R_m \cdot \mu_0 \cdot S = \frac{0,0478 \cdot 1,257 \cdot 10^{-6} \cdot 44,2 \cdot 10^{-4}}{10^{-6}} =$$

$$= 0,282 \text{ cm}$$

$$L' = 9,81 - 5 + 0,282 = 5,092 \text{ cm}$$

Rozdíl indukčností v místě 1 a v místě 2.

$$\begin{aligned} L &= L_2 - L_1 = 20,9 - 0,0565 = 20,843 \cdot n^2 \\ L_1 &= \frac{n^2}{R_m} = \frac{n^2}{0,048} = 20,9 \cdot n^2 \end{aligned}$$

K tomu, aby se dala určit velikost přitažlivé síly  $F$ , je nutné znát derivaci  $dL/dx$ . Jelikož přesný průběh křivky  $L=f(x)$  není znám, je třeba provést náhradu za tuto derivaci.

$$\operatorname{tg} \alpha = \frac{\Delta L}{a} = \frac{dL}{dx}$$

Je zřejmé, že přímka vedená podél se průběhu křivky  $L = f(x)$  dotkne v některém bodě - jde o tečnu k této křivce. Pro tento dotykový bod je pak možné spočítat přitažlivou sílu, která se od skutečné síly nebude moc lišit.

#### Magnetomotorická síla:

$$F_m = \mu^* F_o \cdot k_p = \mu^* \text{ hustota proudu } (A/mm^2) \\ = 2 \cdot 500 \cdot 0,7 = F_o \cdot \text{průřez okénka cívky } (mm^2) \\ = 700 A \quad k_p \cdot \text{koef. zaplnění}$$

#### Průřez vodiče na vinutí :

$$S = \rho \cdot \frac{F_m \cdot l_{stř.}}{U} = 0,0178 \cdot \frac{700 \cdot 0,267}{50} =$$

$$= 0,067 mm^2$$

$$\text{Průměr drátu - } d = \frac{4 \cdot S}{\pi} = 0,3 \text{ mm}$$

Počet závitů -  $N$

$$\text{Napětí - } U \quad N = \frac{k_p \cdot O}{S} = \frac{0,7 \cdot 500}{0,067} = \\ O = F_o$$

$$\rho(Cu) = 0,0178 (\Omega \cdot mm^2/m) = 5250 \text{ závitů}$$

#### Výpočet proudu :

$$I^2 = \frac{2 \cdot F \cdot a}{\Delta L \cdot n^2} = \frac{2 \cdot 2 \cdot 2,5}{20,843 \cdot 27,5} =$$

= 0,0175; I = 0,132 A

Kontrola proudové hustoty

$$\tilde{G}^* = \frac{I}{S} = \frac{0,132}{0,067} = 1,99 \text{ A/mm}^2$$

Získané hodnoty jsou exaktní. Mají informativní účel. Skutečně správné hodnoty se získají z prototypu ovládacího ventilu.

K zvýšení dosedacího účinku kuličky do sedla, je nutné její povrch pogumovat.

#### 4. 14. Vakuovací nádoba

K vakuovací nádobě je připojena olejová rotační vývěva TYP - OV - 3 m<sup>3</sup>, jejímž úkolem je provést odvzdušnění keramické hmoty. Keramická hmota, která projde ovládacím ventilem, dopadá do mísky na první vakuovaci talíř, jejímž úkolem je provést rovnoramenné rozložení hmoty po povrchu talíře. Takto rozložená hmota umožňuje její snazší odvzdušnění. Tlak ve vakuovací nádobě může být 300 - 500 torrů. Ve spodní části nádoby je zabudován termočlánek. Z vakuovací nádoby přitéká keramická hmota do zásobních nádob přes ovládací ventily.

#### Zásobní nádoba

Objem nádoby je 2 dm<sup>3</sup>. Vakuovací nádoba a zásobní nádoby jsou od sebe tepelně izolovány azbestocementovými deskami. Tepelná izolace je zde nutná, protože vakuum ve vakuovací nádobě snižuje teplotu tání keramické hmoty a tzn., že při stejném množství tepla dodaném jak vakuovací nádobě, tak i zásobním nádobám by docházelo k rozdílné tenzi par v popsaných nádobách. Tepelná izolace zajišťuje kontrolu teploty jak ve vakuovací nádobě, tak i v zásobních nádobách. Termočlánek, který je umístěn ve vakuovací nádobě provádí regulaci množství dodávaného tepla z infrazářičů. Na stejném principu je založen i ohřev zásobních nádob.

#### Tepelná izolace

Je provedena azbestocementovými deskami.

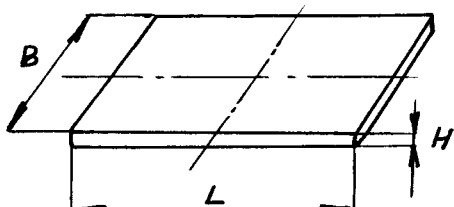
ČSN 723160

#### Rozměry

L	B	H
1250 <sup>+5</sup> <sub>-10</sub>	1200 <sup>+5</sup>	10 <sup>+0,5</sup> <sub>-0,4</sub>
		15

30. října 1967

Vlastimil Pech



Cena : 1250x1200x10 - 10 Kčs  
1250x1200x15 - 15 Kčs

#### Technické požadavky:

Rovinaté azbestocementové desky jsou vyrobeny z portlandského cementu třídy 350 (30 %), dezintegrovaného azbestu (60 %) a vhodných přísad, upravujících navlhavost (10 %).

#### Vlastnosti:

Tepelná vodivost -	0,3 kcal/mh°C
Měrná hmota -	1,8 ± 2,8 kg/cm <sup>3</sup>
Pevnost v tlaku -	500-600 kp/cm <sup>2</sup>
Pevnost v lomu - min-	220 kp/cm <sup>2</sup>

#### Směrnice pro použití :

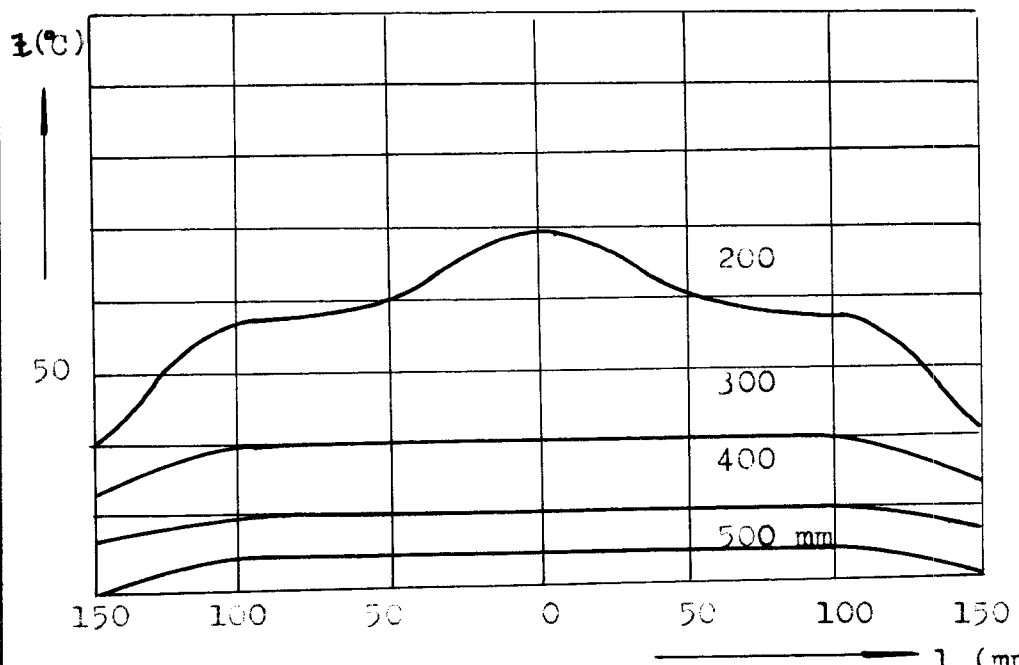
- Dělení desek na potřebnou velikost se provádí řezáním:  
 a/ rozbrušovacím kotoučem zn. Elcarbo C 24 Q,  
 typ 3994  
 b/ kotoučovou pilou s destičkami ze slitiných  
 karbidů (H<sub>1</sub>)  
 c/ vrtání otvorů - vیدiovými vrtáky

#### 4. 15. Infrazářiče

Elektrický keramický infrazářič typ 511 se široce používá v řadě průmyslových odvětví. Jeho výhodou je značně zkrácená doba ohřevu, rychlé uvedení do provozu i jeho rychlé vypnutí; tím dochází též k úspoře elektrické energie. Keramický infrazářič je složen z keramického topného článku, upevněného v reflektoru. Reflektor je pevně sešroubován s krytem, na němž je držák s keramickou svorkovnicí.

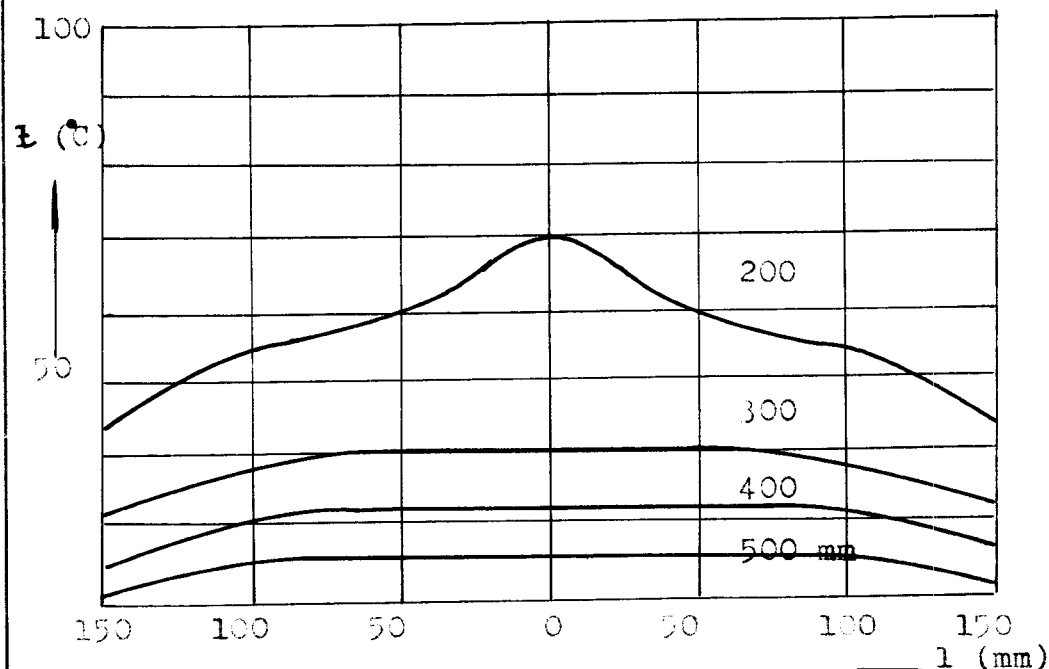
Technická data:                   váha - 1,1 kg

Diagramy teplot: směr příčný



Příkon 300 W, povrch. teplota 380 °C,  $\lambda_{\max} = 4,36 \text{ dK}$

směr podélný



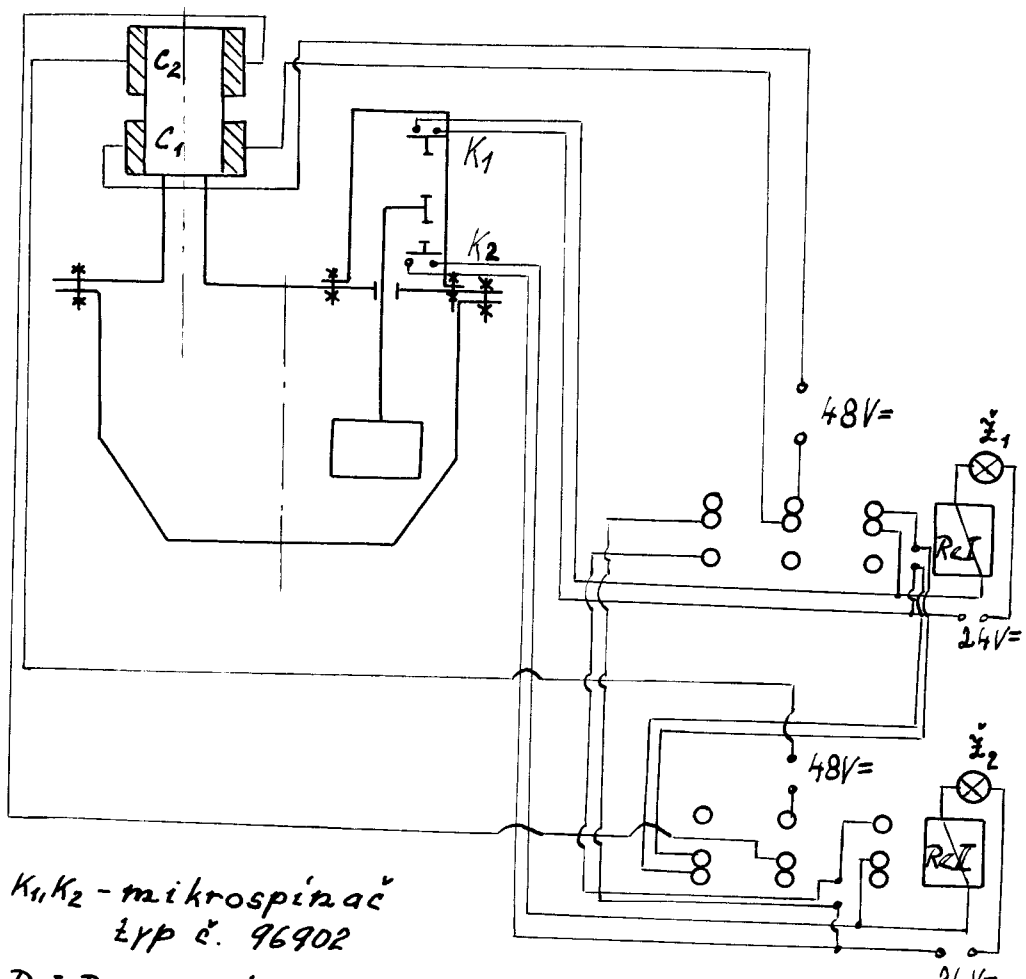
Elektrický keramický infrazářič - ŠM 111

napětí: 220 V; příkon : 300 W, 500 W, 750 W, 1000 W;  
120 V; 300 W, 500 W, 750 W;  
rozměry : 145 mm - šířka, 296 mm - délka, 120 mm - výška

#### 4. 16. Kontrola hladiny v zásobních nádobách

Je provedena přes plovákový snímač, který ovládá relé a toto relé zapíná a vypíná proud přiváděný do cívky ovládacího ventilu.

Schema automatického plnění a vyprázdnování zásobní nádoby: PLOVÁK V HORNÍ POLOZE



#### 4. 17. Vstřikovací komora

Ze zásobních nádob se hmota dopravuje potrubím do vstřikovacího prostoru. Do zásobní nádoby, kde je odvzdušněná hmota, se přivádí tlakový vzduch (2 atp), který provede zatlačení hmoty do vstřikovacího válce. Hmota do válce vstupuje přes kuželku, jejímž úkolem je hmotu do válce vpustit a při pohybu pístu, který hmotu stlačuje na žádaný tlak se kuželka uzavře. Objem vstřikovacího prostoru - 1 l. Vstřikovací tlak je  $80 \pm 100$  atp.

Návrh hydraulického válce pro ovládání pístu vstřikovacího zařízení:

Pracovní válec 32x125 PNT 119151.389  
 $\varnothing$  pístu - 32 mm = d

$$F = 0,785 \cdot d^2 = 8 \text{ cm}^2$$

Objem :

$$V = F \cdot L = L = \frac{V}{F} = \frac{1000}{8} = 125 \text{ mm}$$

#### Tepelná izolace potrubí

Je provedena skleněnou vatou. Je to v podstatě splet anorganických vláken tvořících vatu. Pro účely izolační se hodí ve formě pásků a šňůr.

Vlastnosti:

$$\rho = 110 \pm 170 \text{ kg/m}^3 ; \text{ střední teplota} = 100-300^\circ\text{C}$$
$$\lambda = 0,037 \pm 0,07 \text{ kcal/mh}^\circ\text{C} ; \text{ použití do teplot} \\ \text{kolem } 400^\circ\text{C}$$

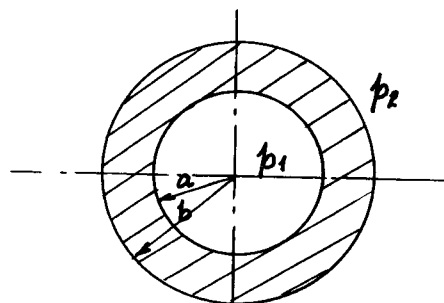
Dají se též použít jako izolace pro nerovné plochy a mezery.

#### Utěsnění pístu

Na čele pístu je přichycen pryžový kroužek, jehož účelem je provádět stírání hmoty se stěny válce. Další 2 kroužky na pístu plní funkci stírací - U manžety (pryž). Vedení pístu ve válci zajišťují další 2 kovové kroužky.

Kontrola vstřikovacího válce

Jedná se o tlustostěnnou nádobu.



Hookeův zákon:

$$p_1 = 100 \text{ atp}$$

$$p_2 = 1 \text{ atp}$$

$$a = 32/2 = 16 \text{ mm}$$

$$b = 62/2 = 31 \text{ mm}$$

$$\sigma_r = \frac{E}{1-\mu^2} (\epsilon_r + \mu \epsilon_t) - \text{radialní napětí}$$

$$\sigma_t = \frac{E}{1-\mu^2} (\epsilon_t + \mu \epsilon_r) - \text{tečné napětí}$$

$$\sigma_r = A - B \cdot \frac{1}{r^2}; \quad \sigma_t = A + B \cdot \frac{1}{r^2} \quad I)$$

A; B - integrační konstanty  $\Rightarrow$  z okrajových podmínek

$$r = a \quad \dots \quad \sigma_r = -p_1$$

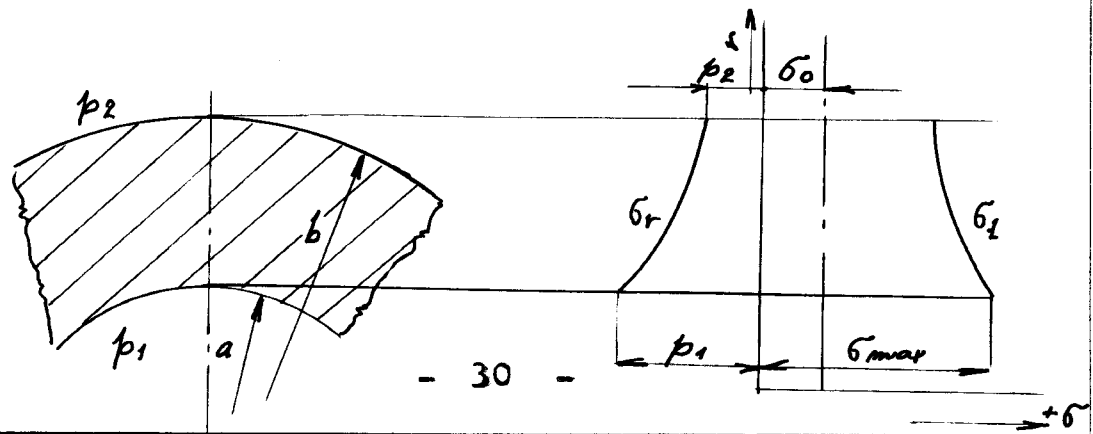
$$r = b \quad \dots \quad \sigma_r = -p_2$$

$$A = \frac{p_1 \cdot a^2 - p_2 \cdot b^2}{b^2 - a^2}; \quad B = \frac{(p_1 - p_2) \cdot a^2 \cdot b^2}{b^2 - a^2}$$

$$A = \sigma_0 = \frac{p_1 \pi a^2 - p_2 \pi b^2}{\pi (b^2 - a^2)} = \frac{p_1 a^2 - p_2 b^2}{b^2 - a^2}$$

$$\sigma_r = \sigma_0 - B \cdot \frac{1}{r^2}; \quad \sigma_t = \sigma_0 + B \cdot \frac{1}{r^2}$$

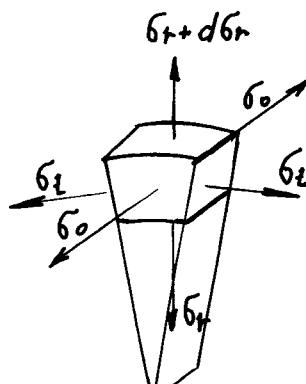
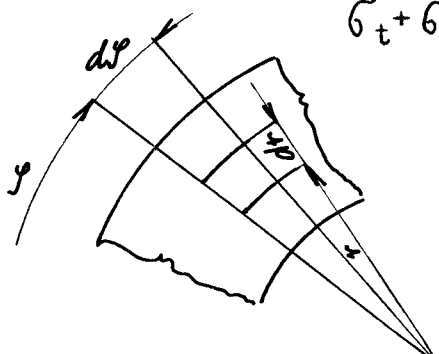
$\sigma_r, \sigma_t$  - tvoří souměrné polytropy typu  $x = \text{konst.}$



Z tohoto náčrtu snadno odečteme velikost kterého-  
koli napětí na vnitřním i vnějším povrchu.

Z rovnice I) je zřejmé, že součet obvodového a  
radiálního napětí je v každém místě průřezu konstantní:

$$\sigma_t + \sigma_r = 2A$$



$$\sigma_o = \frac{p_1 a^2 - p_2 b^2}{b^2 - a^2} = \frac{100 \cdot 2,56 - 1 \cdot 9,6}{9,6 - 2,56} = \frac{246,4}{7,04} = 35,1 \text{ kp/cm}^2$$

$$\sigma_{\max} = 2 \sigma_o + p_1 = 2 \cdot 35,1 + 100 = 170,2 \text{ kp/cm}^2$$

$$\sigma_t + \sigma_r = 2A = 2 \sigma_o = 70,2 \text{ kp/cm}^2$$

Největší smykové napětí podle téhož obrázku je:

$$\tau_{\max} = \frac{1}{2} (\sigma_{\max} + p_1) = \sigma_o + p_1 = 135,1 \text{ kp/cm}^2$$

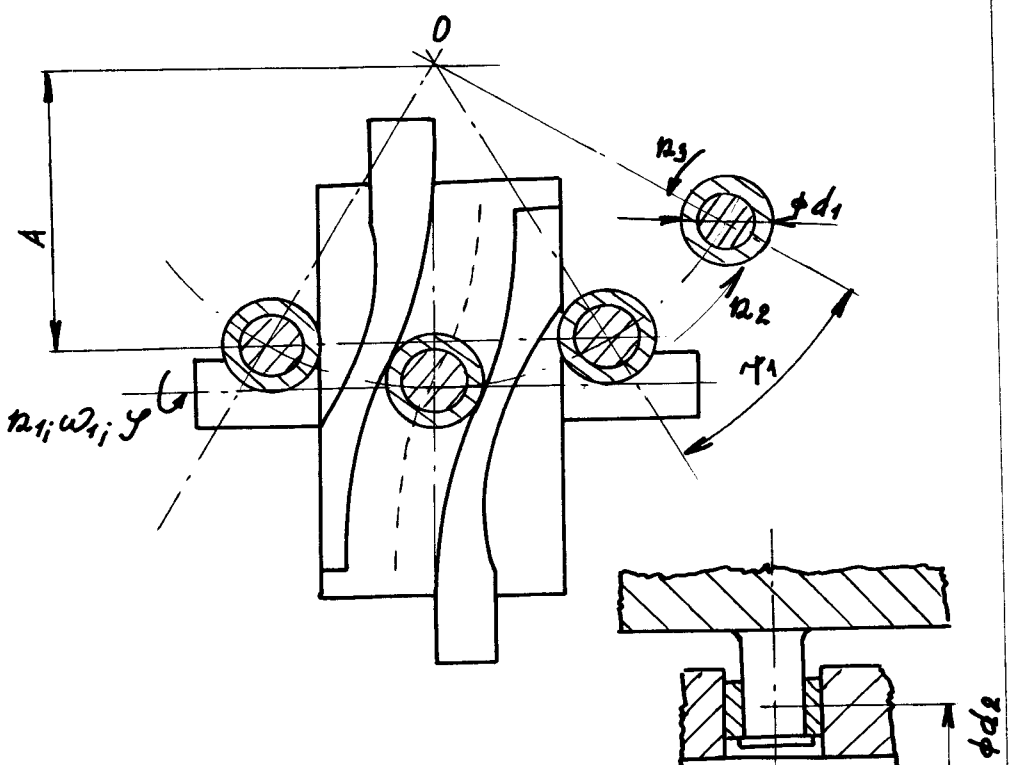
Poměrné prodloužení v osovém směru :

$$\epsilon_o = - \frac{\mu}{E} (\sigma_r + \sigma_t) = - \frac{0,3}{2,1 \cdot 10^6} \cdot 70,2 = \\ = - 10 \cdot 10^{-4} \text{ cm}$$

### 5. Krokovací mechanismus montážního stroje typu MC557

Krokování otočného talíře je provedeno přes bubnovou vačku a krokovací kolo. Schema náhonu a aretace otočného stolu je provedeno na obrázku č. I.

Funkční schema mechanismu s bubnovou vačkou:



Vačkové mechanismy s bubnovou vačkou mají celou řadu výhod pro které jsou často používány v nejrůznějších strojích.

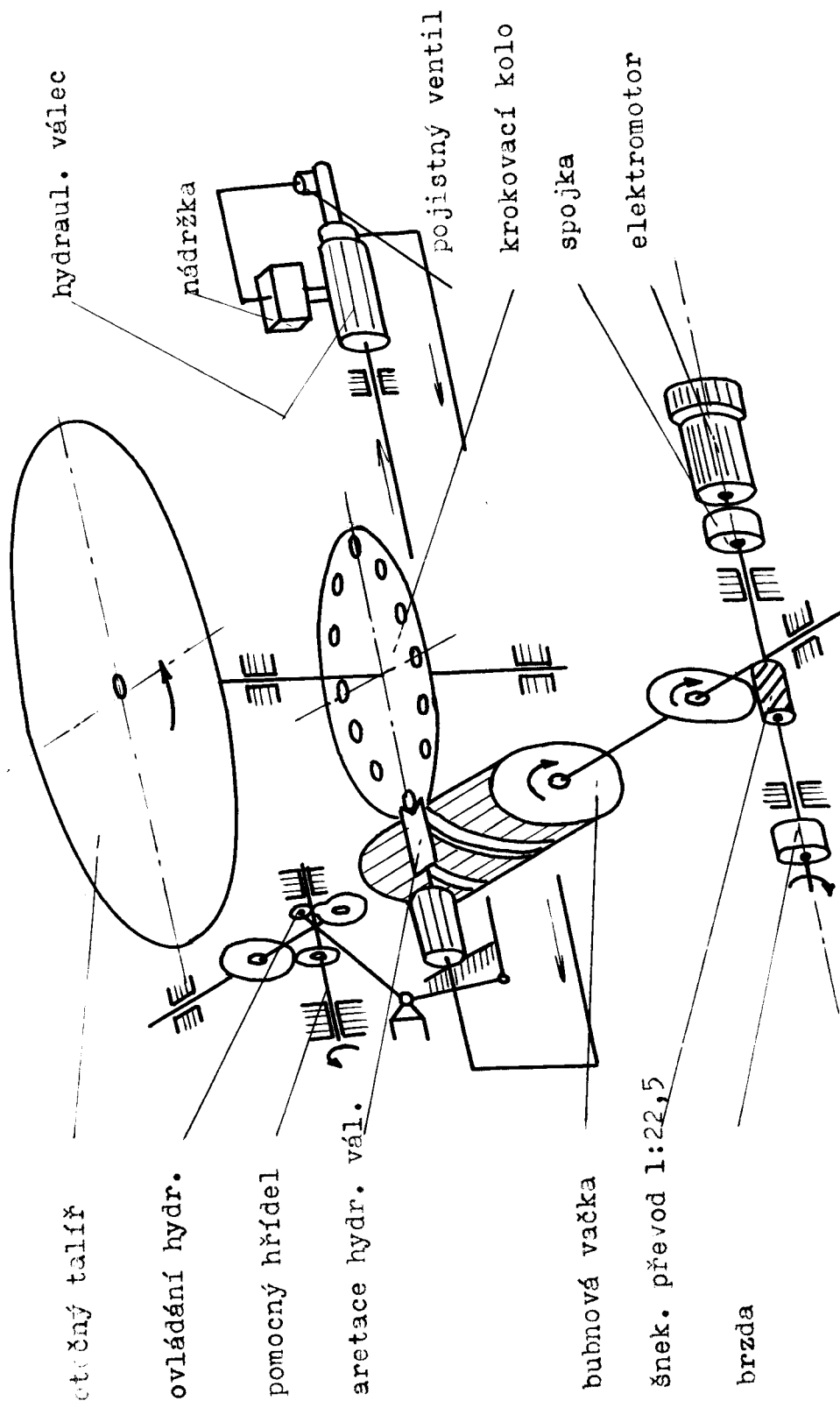
#### 1) Porovnání z hlediska minimálního dynamického namáhání:

Mají nejmenší dynamické namáhání. Dále mají tu vlastnost, že průběh zrychlení se dá volit bez skoků v začátku pohybu, což zmenšuje sklon mechanismu k chvění a tím i k dalšímu dynamickému namáhání. Je to také proto, že celý průběh pohybu hnacího členu se dá libovolně a tedy i optimálně volit tvarem hnací vačky.

#### 2) Porovnání z hlediska výhodnosti poměru doby klidu

k době pohybu: - 32 -

Schema náhonu a aretace otoč. stolu.



obr. č. I

Můžeme volit poměr "i" teoreticky libovolně. Pro velké hodnoty poměru "i" vycházejí však hnací vačky rozměrné. Bez konstrukčních obtíží se dá však dosáhnout poměru  $i = 6/1; 5/1; 4/1; 3/1$ .

### 3) Porovnání z hlediska statických vlastností:

Statický moment -  $M_{max} = P_x \cdot r$  - úměrný maximálnímu zrychlení  $\epsilon_{max}$ .

$$M_{max} = I_r \cdot \epsilon_{max} \cdot \omega_1^2$$

Výkon pohonového elektromotoru závisí na velikosti maximálního hnacího momentu, který nebývá rozhodujícím kritériem.

### 4) Zhodnocení z hlediska aretačních vlastností:

Výrobní vůle se zde dá vymezit tak, že pod kuželové kladíčky se podkládají "na míru" zbrošené podložky.

#### Závěr:

Mechanismy s bubnovou vačkou jsou výhodné jak pro velké, tak i pro malé výkony. Zkracují ztrátové časy na mezioperačním pohybu na minimum. Dobu klidu, která bývá v těchto případech značná, prodloužíme vypnutím náhonu přes spojku. Tato kombinace s vypínáním náhonu umožňuje blokování stroje - spuštění náhonu může nastat až po skončení operace.

Firma Fergusson(USA) vyrábějící otočné stoly s přerušovaným pohybem uvádí, že minimální chvění nastává při 10 000 - 30 000 kroků/hod.

Nevýhodou mechanismů s bubnovou vačkou je, že na krokovací mechanismus působí klopný moment, který je

nutno zachytit v ložiskách otočného talíře.

6) Automatika procesu: viz výkres 03 - 00

Na otočném talíři jsou umístěny spínací segmenty, které mají za úkol spínat mikrospínače. Pravidelného krovkování talíře bylo využito pro automatický cyklus karuselu.

6.1. Automatická pracovní činnost hydraulických válců:

Při najetí otočného talíře na mikrospínač  $K_1$  dojde k uzavření elektrického obvodu, kterým je ovládán rozvaděč  $R_1$ . Současně tento elektrický obvod je uzavřen přes relé  $ReII$ , které je spínáno přes mikrospínač  $K_4$ . Přes rozvaděč  $R_1$  je přiváděn tlakový olej (7atp) nad píst hydraulického válce  $M_1$ . Tento nízký tlak je zde použit pro měkké dosednutí a uzavření částí formy. Když uzávírací píst hydraulického válce  $M_1$  dosedne na povrch formy, dojde k sepnutí mikrospínačů  $K_2$  a  $K_3$ . Mikrospínač  $K_2$  uzavírá releový obvod relé  $ReI$ . Přes toto relé je uzavírána elektrický obvod pro elektromagnetický rozvaděč  $R_3$ . Současně tento obvod je uzavřen přes relé  $ReII$ . Rozvaděč  $R_3$  ovládá rozvaděč  $R_2$ , přes který je přiváděn tlakový olej do hydraulického válce  $M_1$ . Aby se tento vysoký tlak (100 atp) nedostal přes rozvaděč  $R_1$ , je nutné provést jeho uzavření. Toho je docíleno přes relé  $ReI$ . Při tomto vysokém tlaku je forma dokonale uzavřena a je možné provést vlastní vstřikování. Vstřikovací činnost je uskutečněna přes mikrospínač  $K_3$ . Ten ovládá rozvaděč  $R_4$ , přes který přichází tlakový olej (7atp) do rozvaděče  $R_5$ , jehož úkolem je přívod a odvod tlakového oleje (100atp) do hydraulického válce  $M_2$ . Tento hydraulický válci je pístní tyč spojen s pístem ve vstřikovacím válci a tedy z jeho pohybu je odvozeno vlastní vstřikování. Při dojetí pístní tyče hydraulického válce  $M_2$  dojde k sepnutí mikrospínačů  $K_4$  a  $K_6$ . Mikroválci

spínač  $K_4$  uzavírá elektrický obvod  $ReII$ . Tentýž obvod je uzavírán přes relé  $ReIII$ , které je ovládáno přes mikrospínač  $K_6$  a časové relé  $TD1$ , jehož úkolem je přesně dodržet vstřikovací čas. Po jeho rozepnutí se roze pne i relé  $ReIII$  a jeho kontakty uzavřou elektrický obvod pro relé  $ReII$ . Při uzavření tohoto relé dojde k sepnutí jeho kontaktů, tím se přeruší elektrický obvod pro pravou část rozvaděče  $R_3$  a současně se uza-vře elektrický obvod pro levou část. Tím dojde k jeho přestavení a současně i k přestavení rozvaděče  $R_2$ . Tím je blokován přívod tlakového oleje (100atp) do hydraulického válce  $M_1$ . Současně při sepnutí relé  $ReII$  dojde k uzavření elektrického obvodu pro levou část rozvaděče  $R_1$  a také k rozepnutí elektrického obvodu pro pravou část rozvaděče. Tím je přiváděn tlakový olej pod píst hydraulického válce  $M_1$  a olej z prostoru nad pístem je odváděn do nádrže čerpadla. Při tomto pohybu pístní tyče dojde k rozpojení mikrospínačů  $K_2$  a  $K_3$ . Tím dojde k odpojení relé  $ReI$  a přeruší elektrický obvod pro pravou část rozvaděče  $R_4$ , kde pružina tohoto rozvaděče provede jeho přestavení a tedy i přestavení hydraulického rozvaděče  $R_5$ . Tím přichází tlakový olej na pravou část hydraulického válce  $M_2$  a z levé části je odváděn do nádrže čerpadla. Při dojetí pístní tyče do původní polohy dojde k sepnutí mikrospínače  $K_5$  a k sepnutí relé  $ReIV$  a k přerušení obvodu elektromagnetu spojky, který je uzavřen přes mikrospínač  $K_1$ . Průžina spojky provede její sepnutí a pootočení otočného talíře o další krok, který je vymezen spínacím segmentem.

Vyjmání výrobků z formy je provedeno sací hlavou.

Její pracovní činnost:

Při sepnutí mikrospínače  $K_8$  se uzavře elektrický obvod pro pravou část rozvaděče  $R_6$ . Tlakový olej (7atp) je přiváděn před píst hydraulického válce  $M_3$ . Při dojetí pístnice do krajní polohy, která je určena pootočením sací hlavy, dojde k sepnutí mikrospínače  $K_7$ , který

uzavře elektrický obvod pro solenoidový ventil a tím dojde k připojení sací hlavy na vývěvu. Doba připojení je ovládána časovým relém TD1, které je zapojeno do elektrického obvodu rozvaděče  $R_6$ . Po uplynutí nastavené doby, která je nutná k vyjmouti výrobků a vtoků, časový ventil rozpojí tento elektrický obvod a pružina rozvaděče provede jeho přestavení a tedy i přestavení hydraulického válce a rozpojení mikrospínače  $K_7$ .

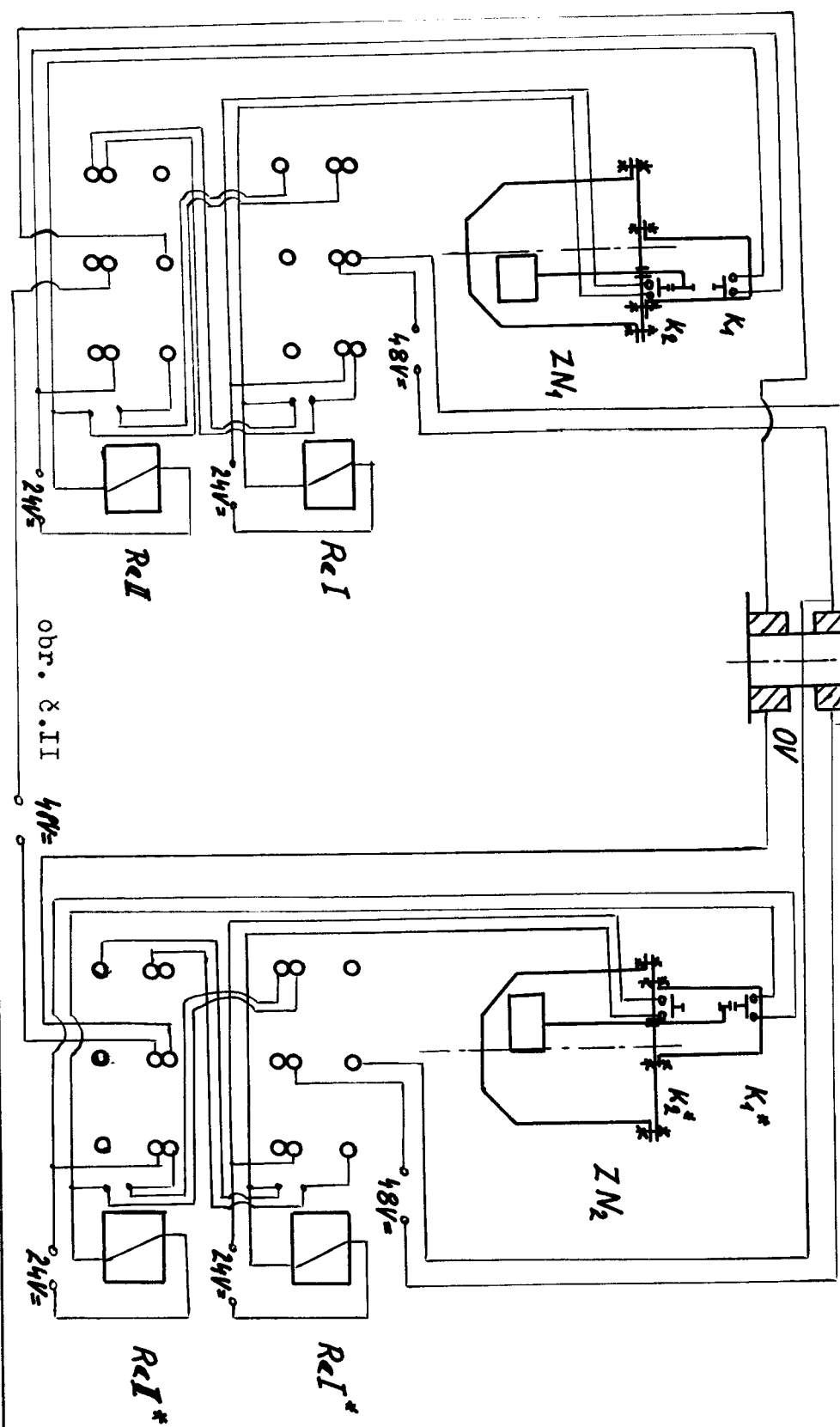
- |                           |                             |
|---------------------------|-----------------------------|
| $R_1$ - RSPe 4310 - 310/A | Mikrospínače $K_1 \div K_8$ |
| $R_2$ - RSPh 2210 - 332/A | Typ 96902                   |
| $R_3$ - RSPe 4310 - 310/A |                             |
| $R_4$ - RSPe 4210 - 420/A |                             |
| $R_5$ - RSPh 4310 - 311/A |                             |
| $R_6$ - RSPh 4310 - 310/A |                             |

Popis funkční činnosti podle schématu na obr. č. II:

Účelem navrženého ovládacího systému je provádět automatické otevírání a uzavírání ovládacího ventilu, který spojuje nádobu pro roztavení a míchání keramické hmoty s vakuovací nádobou. Hlavním požadavkem bylo provést automatické uzavření ventilu, jestliže se oba plováky v zásobních nádobách dostaly do horní polohy.

Plovák v zásobní nádobě  $ZN_1$  sleduje polohu hladiny keramické hmoty. Při jejím vyprázdnění dosedne spínací segment na mikrospínač  $K_1$  a tím dojde k sepnutí kontaktů relé  $ReI$ . Prostřední páár kontaktů uzavře elektrický obvod pro vrchní cívku ovládacího ventilu. Jádro tohoto ventilu je vtaženo do cívky a tím otevře ventil pro průtok keramické hmoty do vakuovací nádoby. Stejný úkol jako  $K_1$  a  $ReI$  má i  $K_1^*$  a  $ReI^*$ . Uzavření ovládacího ventilu je provedeno pomocí mikrospínačů  $K_2$  a  $K_2^*$  a dále pomocí relé  $ReII$  a  $ReIII$ . Tato kombinace byla zvolena tak, aby došlo k uzavření ventilu jen tehdy, až plováky v obou

Schema automatického otevírání a uzavírání OV podle polohy plováku v ZN.



zásobních nádobách dosáhnou horní krajní polohy (nádrže jsou plné).

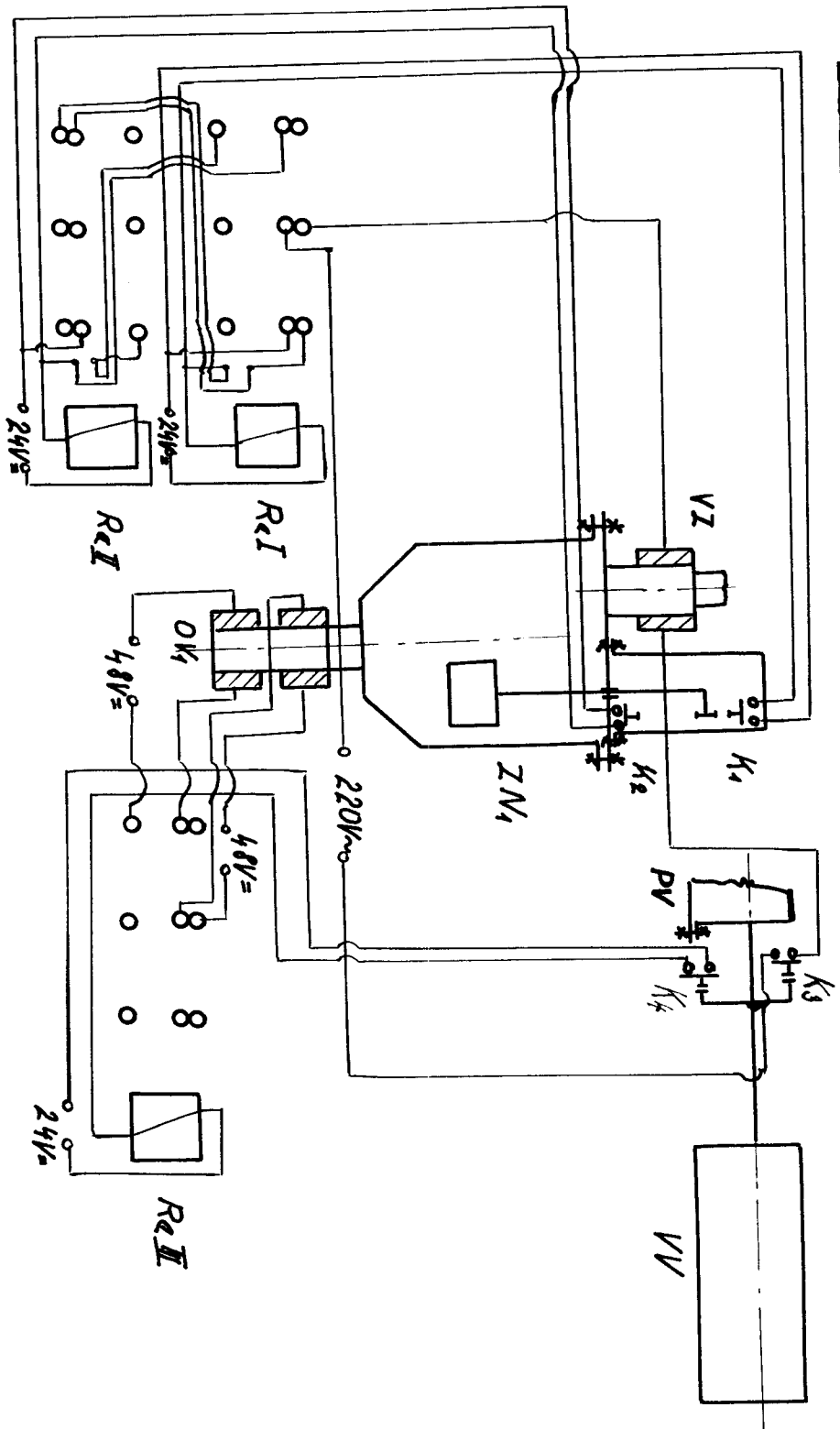
Popis funkční činnosti podle schematu na obrázku č.III:

Účelem tohoto navrženého ovládacího systému je provádět automatické plnění vstřikovacího válce jak podle polohy plováků v zásobních nádobách, tak i podle polohy pístnice vstřikovacího válce.

Při dosažení horní krajní polohy plováku v zásobní nádobě ZN<sub>1</sub> dojde k sepnutí mikrospínače K<sub>1</sub> a tím k sepnutí kontaktů relé ReI. Prostřední páru kontaktů mi uzavírá elektrický obvod, který prochází elektromagnetickým ovládacím ventilem VE3D (slouží k střídavému plnění a vyprazdňování prostoru stlačeným vzduchem, ventil je ovládán elektromagnetem na jehož svorky jsou přiváděny elektrické impulsy odvozené od relé) a dále přes kontakty mikrospínače K<sub>3</sub>. Je-li pístnice pracovního válce v krajní poloze je tento elektrický obvod uzavřen, elektromagnetický ovládací ventil otevřen a na hladinu keramické hmoty v zásobní nádobě působí tlakový vzduch (2atp). Tím je keramická hmota vytažena přes ovládací ventil OV<sub>1</sub> do vstřikovacího válce. Ovládací ventil OV<sub>1</sub> je řízen přes mikrospínač K<sub>4</sub> a relé ReIII. Jakmile dojde k vyprázdnění zásobní nádoby sepne segment na plováku mikrospínač K<sub>2</sub>, tím sepne relé ReII, které rozpojí samodržný obvod relé ReI. Tím dojde k rozpojení elektrického obvodu pro elektromagnetický ovládací ventil a tím také k jeho uzavření.

Pro střídavé vyprazdňování zásobních nádob ZN<sub>1</sub> a ZN<sub>2</sub> je nutné vyřešit střídavé zapínání mikrospínačů K<sub>3</sub>, K<sub>4</sub> s mikrospínači, které jsou proti K<sub>3</sub>, K<sub>4</sub> pootočeny o 90°. Nejjednoduším způsobem by bylo toto řešení: při najetí pístnice do pravé krajní polohy by otočný palec provedl pootočení spínacího segmentu o 90°. Jedna otáčka tohoto palce by musela být svázána s časem pohybu pístnice. Vlastní pohon palce by se dal odvodit

Schemata automatického plnění vstříkovacího prostoru:



od přímočarého pohybu pístnice.

Automatická kontrola teploty keramické hmoty:

Tato kontrola se provádí v horní nádobě pro přípravu keramické hmoty, dále ve vakuovací nádobě a v zásobních nádobách. Je zde použit termočlánek Fe - - Ko, jehož termoelektrické napětí je 5,37 mV. Toto napětí je přiváděno na padáčkový regulátor s otočnou cívkou s nastavením I - typ č. 91232/I. Spodní a horní hranici, ve které se má teplota keramické hmoty pohybovat, zde nastavuji s 5% chybou z celkového rozsahu stupnice. Tento padáčkový regulátor zapíná a vypíná podle velikosti teploty elektrický obvod pro infrazářiče a pro prstencová topná tělesa.

7) Zhodnocení:

Vpředložené diplomní práci bylo dosaženo těchto výsledků:

- 1) byl vyřešen automatický cyklus otevírání a uzavírání forem, chlazení a vyjmání výrobků z forem,
- 2) měkké uzavírání forem, jejich uzamčení ( pomocí hydraulického válce, který je čepově uchycen na konzole otočného stolu),
- 3) byla vyřešena vstřikovací soustava:
  - a) roztažení a míchání keramické hmoty
  - b) elektromagnetický ovládací ventil
  - c) vakuování keramické hmoty
  - d) vytápění
  - e) tepelná izolace
  - f) vstřikovací válec (těsnění pístu)
- 4) byla provedena automatika celého procesu.

Pro měření teploty a její regulaci byl použit termočlánek s padáčkovým regulátorem. Vhodnější alternativou

je použití termostatu s kapiralou. Jde o typ 94126, který pracuje v teplotním rozsahu 40 - 90°C. Proti padáčkovému regulátoru pracuje s větší přesností, což je i dáno rozsahem stupnice. Dále konstrukčně je jednodušší a tedy i spolehlivější.

Národnímu podniku Tesla se doporučuje provést odzkoušení ovládacího ventilu, který by se dal na mnohých místech v provozu dobře uplatnit. Stejně i tak jde o automatickou regulaci hladiny i plnění vstřikovacího prostoru.

Závěrem bych chtěl poděkovat vedoucímu této diplomní práce Doc. Ing. Charvátovi z katedry mechaniky VŠST Liberec, Doc. Ing. Zelenkovi z n.p. Tesla za pomoc při řešení ovládacího ventilu, svému konzultantovi Ing. Rachotovi z n.p. Tesla za pomoc při konstrukčním řešení a Ing. Slavíkovi z katedry elektrotechniky za pomoc při řešení automatiky.

V Liberci 30.listopadu 1967

*Vlastimil Pech*

8. Převod použitého označení

- a (cm) - délkový rozměr  
b (cm) - délkový rozměr  
c (cm) - délkový rozměr  
D (mm) -  $\varnothing$  roztečné kružnice  
E ( $\text{kp}/\text{cm}^2$ ) - modul pružnosti  
F ( $\text{cm}^2$ ) - plocha  
 $F'$  (kp) - přitažlivá síla  
G (kg) - váha  
 $g$  ( $\text{m}/\text{sec}^2$ ) - zrychlení  
 $I$  ( $\text{cm}^4$ ) - moment setrvačnosti  
 $I'$  (A) - proud  
 $k_p$  - koeficient zaplnění  
 $L'$  (mm) - zdvih  
 $L$  ( $\mu\text{H}$ ) - indukčnost  
M (ks) - množství  
m (mm) - modul  
 $M_o$  ( $\text{kpcm}$ ) - ohybový moment  
n - počet závitů  
 $n'$  (ot/sec) - počet otáček  
N (kW) - výkon, příkon  
 $p'$  (ks/hod) - počet kusů  
 $p, p_o$  (atp) - tlak  
P (kp) - síla  
r (mm) - poloměr  
 $R_m$  ( $1/\mu\text{H}$ ) - magnetický odpor  
t (sec) - čas  
T (hod) - čas odpracovaný strojem  
 $t'$  (mm) - rozteč  
V ( $\text{cm}^3$ ) - objem  
v (mm) - výška zuba  
 $W_o$  ( $\text{cm}^3$ ) - průřezový modul  
W (kp) - tvarový odpor  
y (mm) - průhyb  
 $Z'$  (mm) - zdvih  
z - počet zubů

$\sigma$  (kp/cm<sup>2</sup>) - napětí

$\gamma$  (kp/cm<sup>2</sup>) - smykové napětí

$\eta$  (%) - účinnost

$\alpha, \beta, \gamma$  - úhel

$\rho$  (kg/dm<sup>3</sup>) - měrná váha

$\omega$  (1/sec) - úhlové zrychlení

$\mu$  - permeabilita

$\rho$  (mm<sup>2</sup>/mm) - měrný odpor

$\varepsilon$  (mm) - poměrné prodloužení

Přehled použité literatury

- (1) Jan Kulhánek a kolektiv : Formy pro tváření plastických hmot, Praha 1966.
- (2) Ladislav Cigánek - Miroslav Bauer : Elektrické stroje a přístroje, Praha 1955.
- (3) B.A. Smirnai: Radiotechnická příručka, Praha 1955.
- (4) inž. Zdeněk Hlávka: Strojnická příručka, Praha 1956.
- (5) Antonín Liška - Jiří Ptáček: Stlačený vzduch, Praha 1965.
- (6) Josef Prokeš : Hydraulické pohony, Praha 1963.
- (7) inž. J. Krauser: Hydraulické lisy, Praha 1956.
- (8) prof. Dr. inž. Jaroslav Staněk: Výroba na sklářských automatech, Praha 1962.
- (9) Mach - Holec: Mechanizace hydraulikou, Praha 1964.
- (10) Vývojový ústav pro mechanizaci a automatizaci - Nové Mesto nad Váhom: Sborník automatizačních prvků, Bratislava 1963.
- (11) Adast: Pneumatické válce.
- (12) inž. Alcijz Fajgl: Kovové vlnovce v malé mechanizaci a modernizaci obráběcích strojů, Bratislava 1959.
- (13) Tesla Lanškroun : Informační karta - otočný stůl.
- (14) inž. Ferdinand Šimonovský: Kontinuální vakuování keramické břečky - DP, Liberec 1966.
- (15) Silnoproudá elektrotechnika : Katalog el.motorů.
- (16) Grafické řešení vaček pro jednoučelové stroje: A. Grim, Praha 1956.